

Integrais duplas em coordenadas polares

Grupo 1

2019-11-08

Resumo

Trabalho acadêmico sobre integrais duplas em coordenadas polares, apresentado na disciplina de *Cálculo III* sob orientação do prof. Kennedy Scopel Gomes, como requisito parcial da terceira avaliação semestral.

Aborda uma revisão rápida sobre o conceito de integrais e o cálculo de áreas e volumes, discute quando o cálculo de volumes com integrais duplas em coordenadas retangulares é difícil de ser realizado, e apresenta uma solução através da utilização de coordenadas polares.

Sumário

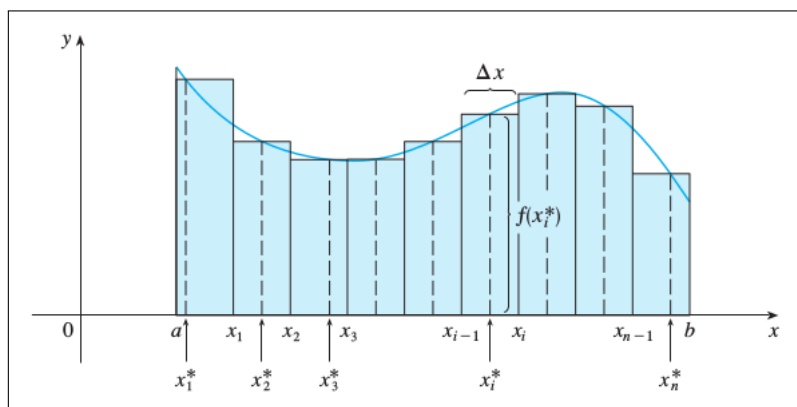
1	Revisão rápida	2
1.1	Integrais simples e o cálculo de áreas	2
1.2	Integrais duplas e o cálculo de volumes	3
2	Volumes com cálculo complicado	5
3	O sistema de coordenadas polares	6
3.1	Equações e curvas polares	9
3.2	De retangular para polar e vice-versa	12
4	Integrais simples em coordenadas polares	13
5	Integrais duplas em coordenadas polares	15
A	Bibliografia consultada	19
B	Integrantes do Grupo 1	19
C	Fontes em L^AT_EX	19

1 Revisão rápida

1.1 Integrais simples e o cálculo de áreas

Um dos problemas fundamentais do cálculo é a determinação da *área* sob uma função $y = f(x)$ qualquer, quando x varia em um intervalo $a \leq x \leq b$. Esse problema é ilustrado na figura 1, abaixo:

Figura 1: Área sob funções: integral simples



James Stewart: *Cálculo* (8ª ed., vol. 2, pg. 884)

Sabemos que uma aproximação da área sob a função pode ser feita com o seguinte procedimento:

1. Dividimos o intervalo $a \leq x \leq b$ em n intervalos menores iguais, Δx . Esse intervalo formará a base de um retângulo que será utilizado para estimar a área sob a função.
2. Dentro de cada intervalo (de cada retângulo) Δx escolhemos um ponto de amostragem x_i^* e calculamos a altura do retângulo, $f(x_i^*)$.
3. A área de cada retângulo é dada então pela multiplicação de sua base (Δx) por sua altura ($f(x_i^*)$): área de cada retângulo é igual a $f(x_i^*)\Delta x$.
4. A aproximação da área total sob a função $y = f(x)$ no intervalo $a \leq x \leq b$ é dada pela *soma* das áreas de todos os retângulos, conforme a equação 1.

$$A \approx \sum_{i=1}^n f(x_i^*)\Delta x \quad (1)$$

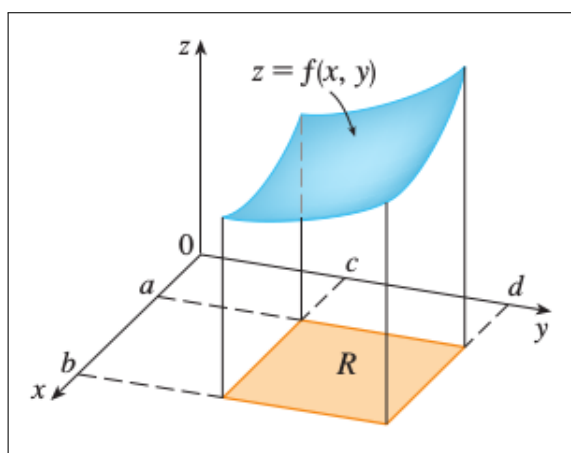
É fácil perceber que à medida em que dividimos o intervalo em um maior número n de retângulos (à medida em que diminuimos Δx), a aproximação da área será melhor. No limite, quando n tende ao infinito, a área sob a curva tende ao valor exato e essa é a idéia do cálculo integral (equação 2):

$$\begin{aligned} A &= \lim_{n \rightarrow \infty} \sum_{i=1}^n f(x_i^*)\Delta x \\ &= \int_a^b f(x) dx \end{aligned} \quad (2)$$

1.2 Integrais duplas e o cálculo de volumes

Uma expansão natural do problema do cálculo de áreas é o problema do cálculo de *volumes*, ou seja: dada uma função $z = f(x, y)$ qualquer, qual é o volume que está sob a função quando x varia no intervalo $a \leq x \leq b$ e y varia no intervalo $c \leq y \leq d$ (ver figura 2 abaixo):

Figura 2: O problema do cálculo do volume



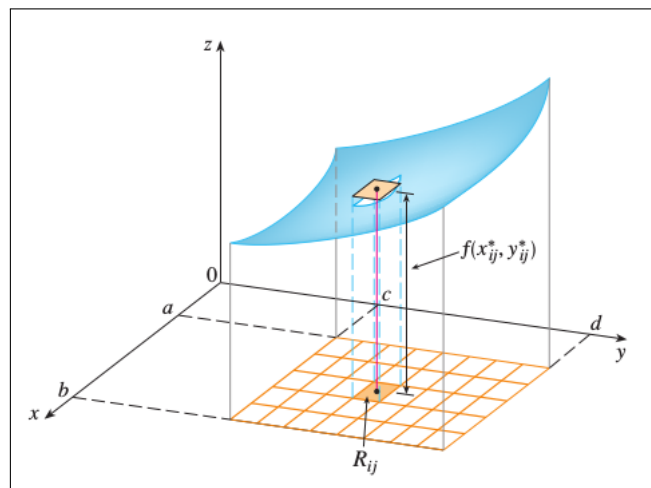
James Stewart: *Cálculo* (8ª ed., vol. 2, pg. 884)

Como calcular o volume do sólido sob a função ilustrada na figura anterior? Note que a variação no eixo x e a variação no eixo y delimitam uma “base” retangular R sob a função $z = f(x, y)$. Isso nos permite expandir o raciocínio do cálculo de áreas e obter uma aproximação do volume com o seguinte procedimento (ver também figura 3 a seguir):

1. Dividimos a base retangular R em vários retângulos menores, R_{ij}
2. A área de cada retângulo R_{ij} é então: $\Delta A = \Delta x \Delta y$
3. Dentro de cada retângulo R_{ij} escolhemos um ponto de amostragem (x_{ij}^*, y_{ij}^*) e usamos esse ponto para calcular a altura do prisma, dada por: $f(x_{ij}^*, y_{ij}^*)$
4. O volume de cada prisma, $V_{R_{ij}}$, é dado então pela multiplicação da área de sua base, ΔA , por sua altura, $f(x_{ij}^*, y_{ij}^*)$, da seguinte maneira:

$$V_{R_{ij}} \approx f(x_{ij}^*, y_{ij}^*) \Delta A \quad (3)$$

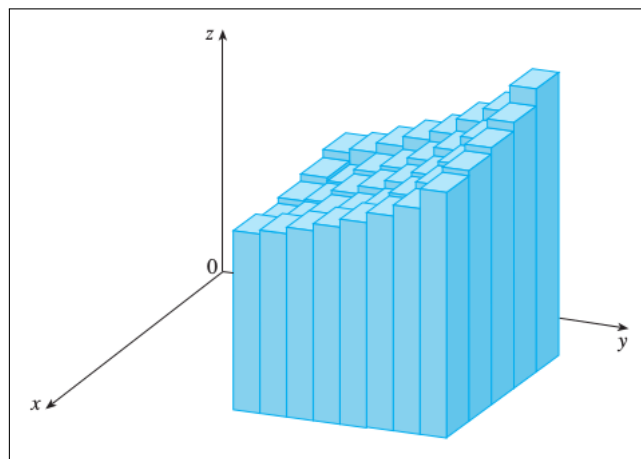
Figura 3: Dividindo o sólido sob a função em prismas



James Stewart: *Cálculo* (8ª ed., vol. 2, pg. 885)

Para obter a estimativa do volume total sob a função, basta então somar os volumes de todos os prismas (ver figura 4 e equação 4):

Figura 4: Estimativa do volume sob a função

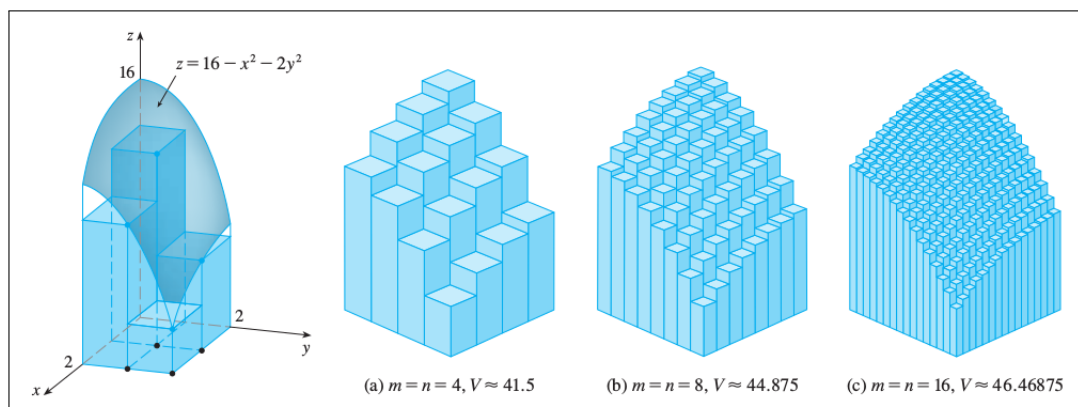


James Stewart: *Cálculo* (8ª ed., vol. 2, pg. 885)

$$V \approx \sum_{i=1}^m \sum_{j=1}^n f(x_{ij}^*, y_{ij}^*) \Delta A \quad (4)$$

Note que à medida em que dividimos o volume sob a função em um maior número de prismas (maior número de retângulos R_{ij} , com intervalos Δx e Δy menores e, portanto, com áreas ΔA menores), a aproximação do volume será melhor (ver figura 5, a seguir):

Figura 5: Melhorando a estimativa do volume



James Stewart: *Cálculo* (8ª ed., vol. 2, pg. 885)

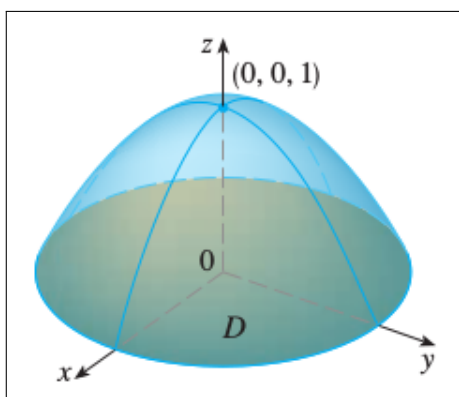
No limite, quanto o número de prismas tende ao infinito, o volume sob a curva tende ao valor exato, e essa é a idéia do uso de integrais duplas para o cálculo de volumes (equação 5):

$$\begin{aligned}
 V &= \lim_{m,n \rightarrow \infty} \sum_{i=1}^m \sum_{j=1}^n f(x_{ij}^*, y_{ij}^*) \Delta A \\
 &= \iint_R f(x, y) \, dA \\
 &= \int_a^b \int_c^d f(x, y) \, dy \, dx
 \end{aligned} \tag{5}$$

2 Volumes com cálculo complicado

O uso de integrais duplas para o cálculo de volumes (ver equação 5) é aplicável em diversas situações e em diferentes funções. Entretanto, existem funções nas quais o cálculo do volume é difícil. Considere, por exemplo, o cálculo do volume do sólido limitado abaixo pelo plano $z = 0$ e acima pelo parabolóide $z = 1 - x^2 - y^2$ (figura 6):

Figura 6: Como calcular esse volume?



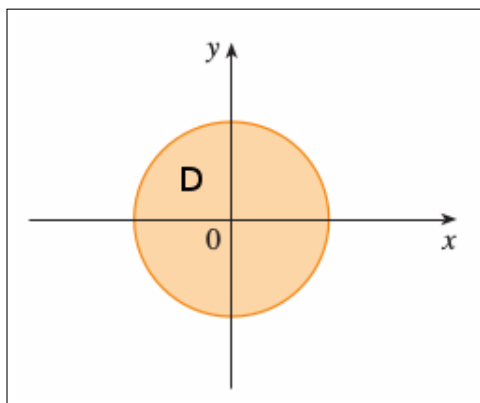
James Stewart: *Cálculo* (8ª ed., vol. 2, pg. 906)

Note que a base não é mais um retângulo, é um disco D . Se tentarmos calcular o volume através da utilização direta da equação 5, chegaremos em uma expressão muito difícil de resolver:

$$\begin{aligned} V &= \iint_D (1 - x^2 - y^2) \, dA \\ &= \int_{-1}^1 \int_{-\sqrt{1-x^2}}^{\sqrt{1-x^2}} (1 - x^2 - y^2) \, dy \, dx \end{aligned}$$

E por que é difícil calcular o volume de funções parecidas com a ilustrada na figura 6? Pois a “base” do sólido não é mais um retângulo, é um disco, e, já que estamos utilizando o sistema de *coordenadas retangulares*, não é possível descrever o disco D formado por x e y por uma única função (ver figura 7):

Figura 7: O disco D não pode ser descrito por uma única função



James Stewart: *Cálculo* (8ª ed., vol. 2, pg. 904)

Para poder calcular esses volumes difíceis temos que mudar nosso ponto de vista¹: precisamos sair do sistema de coordenadas retangulares e utilizar o sistema de *coordenadas polares*.

A próxima seção explicará o que é o sistema de coordenadas polares para, a partir desse conhecimento, demonstrar como o cálculo integral pode ser feito utilizando-se esse referencial.

3 O sistema de coordenadas polares

Um *sistema de coordenadas* serve para representar a *localização* de um ponto no plano, através de um *par ordenado* de números chamados de *coordenadas*.

Usualmente, quando representamos um ponto no plano, estamos nos referindo ao **sistema de coordenadas retangulares** (cartesianas), que são distâncias orientadas a partir de dois eixos perpendiculares.

¹Uma animação interessante que mostra como mudar o ponto de vista muda nosso entendimento sobre uma função pode ser vista em <http://www.youtube.com/watch?v=Dmc3mQ87GiQ>.

No sistema de coordenadas retangulares a localização de um ponto P é dada por

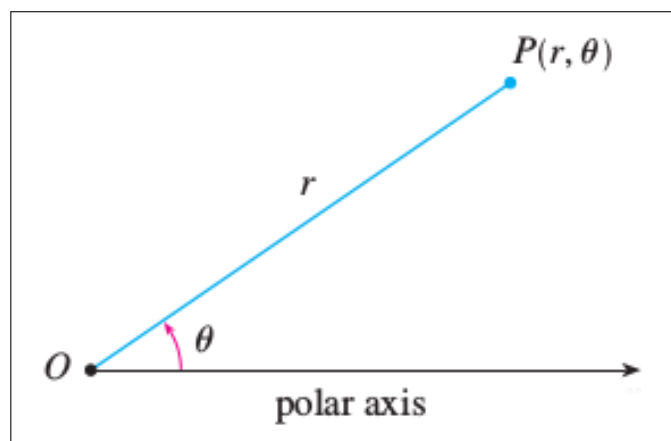
$$P = (a, b) \quad (6)$$

onde a é a projeção de P no eixo x , e b é a projeção de P no eixo y .

Entretanto, para descrever curvas que exibem uma espécie de “afinidade especial por um ponto de origem”, como um círculo ou a trajetória de um planeta ao longo de sua órbita, é melhor utilizar um outro sistema de coordenadas, o sistema de coordenadas polares.

No **sistema de coordenadas polares** uma curva é descrita como a trajetória de um ponto móvel cuja posição é especificada pela sua *direção a partir da origem* e pela sua *distância até a origem*. Assim, qualquer ponto é localizado através de sua *direção* e sua *distância* em relação à origem (figura 8):

Figura 8: O eixo polar



James Stewart: *Cálculo* (8ª ed., vol. 2, pg. 596)

A direção é dada pelo ângulo θ em relação ao eixo polar (geralmente em *radianos*), e a distância r é a distância direta da origem até o ponto.

Esses dois números, r e θ , são o par ordenado que formam as *coordenadas polares* da localização de um ponto no plano.

Por convenção, o par de coordenadas polares é escrito primeiro informando-se a distância, e depois o ângulo:

$$P = (r, \theta) \quad (7)$$

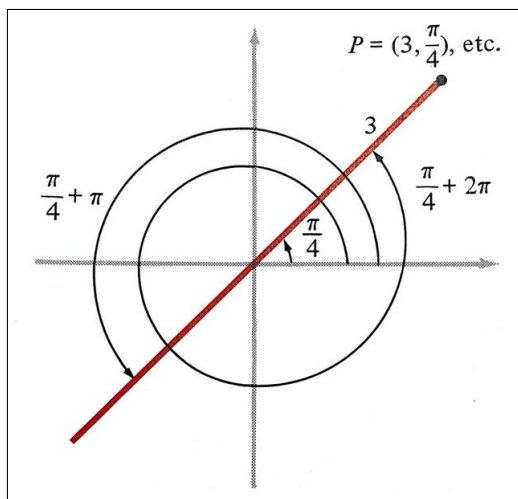
Note o seguinte (figura 9):

- Esqueça o pensamento cartesiano de esquerda/direita (eixo x) e acima/abaixo (eixo y).
- Pense em termos de *ao redor* e de *distância* em relação ao *polo*, a origem.
- $r = 0$ especifica a origem, independente de θ .
- Cada ponto tem muitos pares de coordenadas polares, pois qualquer múltiplo de 2π adicionado ou subtraído de θ faz uma “volta completa” na direção, parando no mesmo ponto.

- Cada coordenada polar define exatamente um ponto.
- Se aumentarmos θ por π , estamos na mesma “reta” mas na direção contrária:

$$(r, \theta + \pi) = (-r, \theta) \quad (8)$$

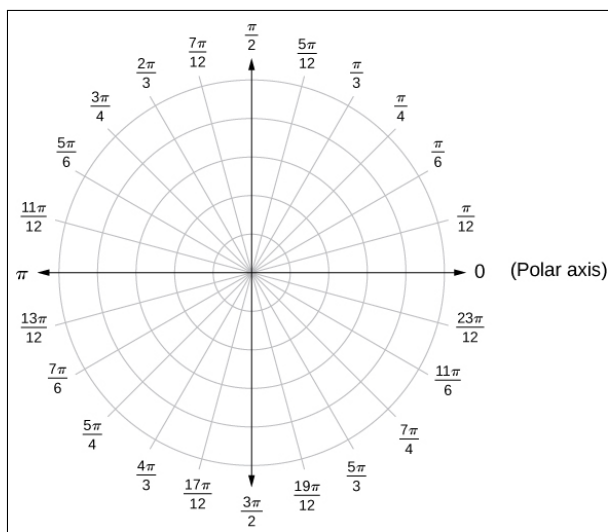
Figura 9: Particularidades das coordenadas polares



George Simmons: *Calculus with Analytic Geometry* (2ª ed., pg. 560)

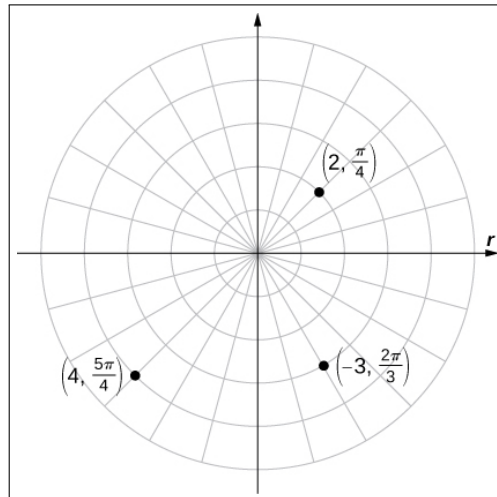
Uma representação interessante do sistema de coordenadas polares e de como os pontos são localizados é exibida nas figuras 10 e 11, abaixo:

Figura 10: O sistema de coordenadas polares



Gilbert Strang & Edwin Herman: *Calculus* (ed. online, 2017, vol. 2, pg. 645)

Figura 11: Os pontos estão ao redor da origem

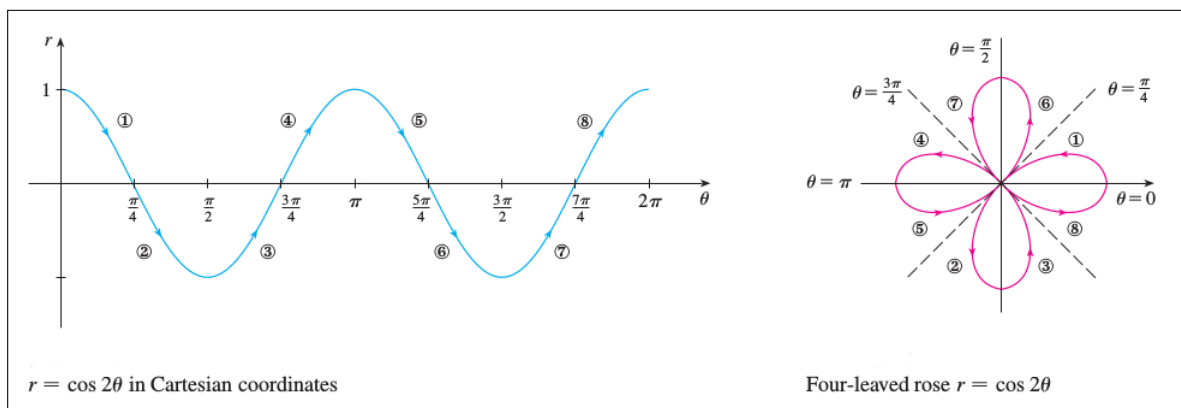


Gilbert Strang & Edwin Herman: *Calculus* (ed. online, 2017, vol. 2, pg. 646)

3.1 Equações e curvas polares

Para ilustrar de modo cristalino como uma mesma função pode ser entendida de forma diferente dependendo do sistema de coordenadas utilizado (retangular ou polar), considere a seguinte função: $r = \cos(2\theta)$. Se essa função for plotada em coordenadas retangulares, será uma onda; se for plotada em coordenadas polares será uma rosa (figura 12):

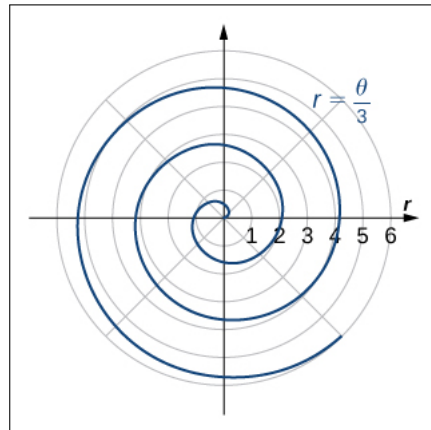
Figura 12: Mesma função, dois pontos de vista



James Stewart: *Cálculo* (8ª ed., vol. 2, pg. 600)

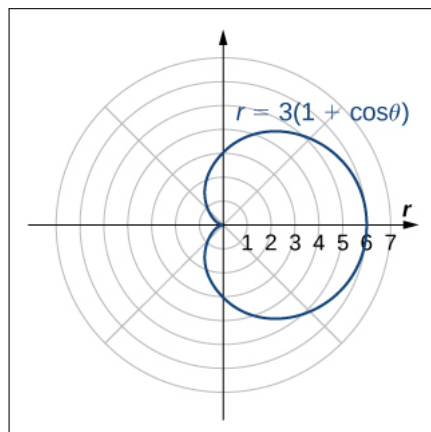
O gráfico de uma equação polar $r = f(\theta)$ ou, mais genericamente, $F(r, \theta) = 0$, consiste de todos os pontos P que têm *pelo menos uma* representação (r, θ) cujas coordenadas satisfaçam a equação polar. Isso faz com que as equações polares, quando plotadas, assumam formas belas e inusitadas (ver figuras: 13, 14, 15, 16, 17, 18, 19).

Figura 13: A beleza polar: espiral



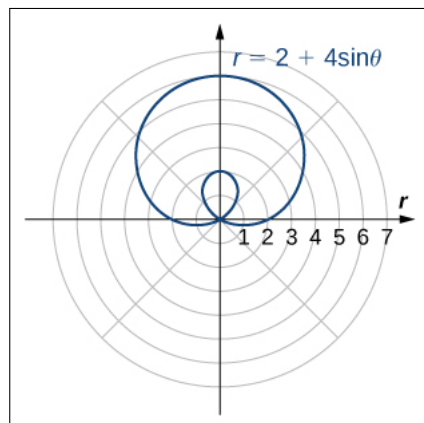
Gilbert Strang & Edwin Herman: *Calculus* (ed. online, 2017, vol. 2, pg. 651)

Figura 14: A beleza polar: cardióide



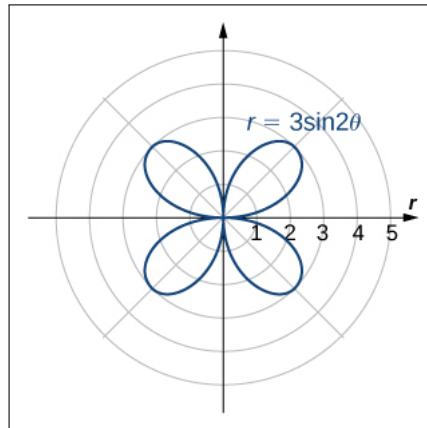
Gilbert Strang & Edwin Herman: *Calculus* (ed. online, 2017, vol. 2, pg. 652)

Figura 15: A beleza polar: Limaçon



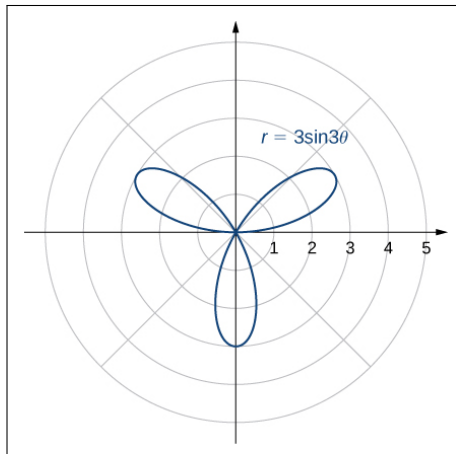
Gilbert Strang & Edwin Herman: *Calculus* (ed. online, 2017, vol. 2, pg. 652)

Figura 16: A beleza polar: rosácea



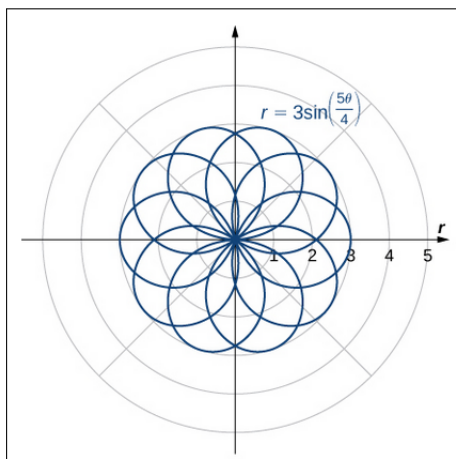
Gilbert Strang & Edwin Herman: *Calculus* (ed. online, 2017, vol. 2, pg. 652)

Figura 17: A beleza polar: rosácea com 3 pétalas



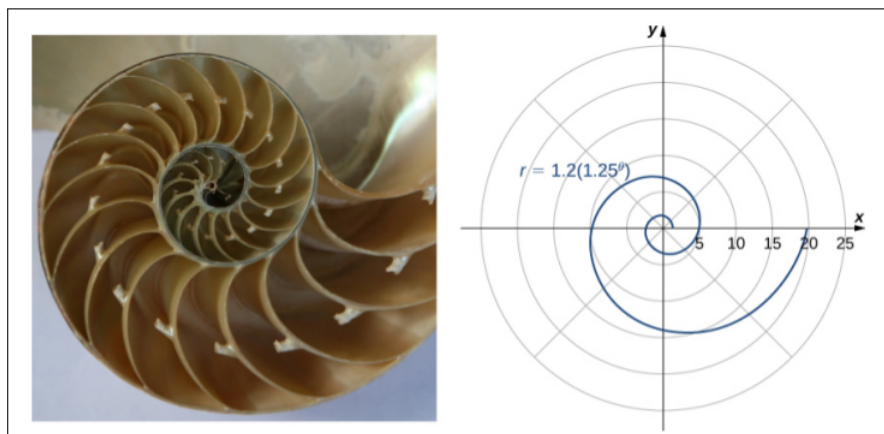
Gilbert Strang & Edwin Herman: *Calculus* (ed. online, 2017, vol. 2, pg. 652)

Figura 18: A beleza polar: formas inusitadas



Gilbert Strang & Edwin Herman: *Calculus* (ed. online, 2017, vol. 2, pg. 652)

Figura 19: A beleza polar: espiral logarítmica



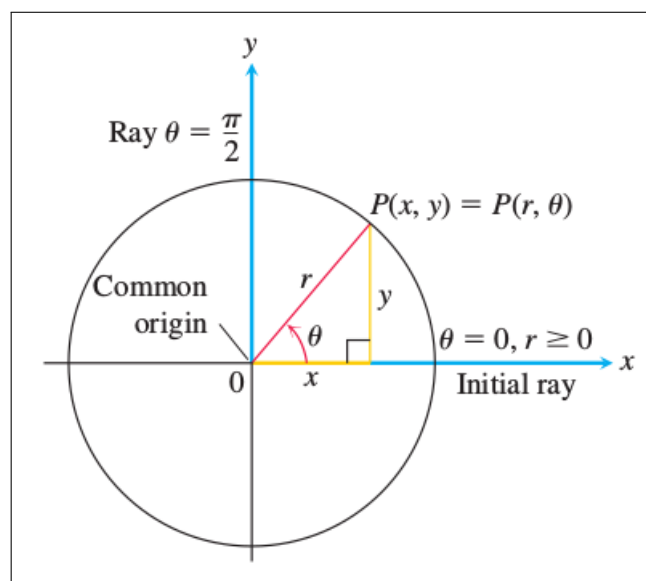
Gilbert Strang & Edwin Herman: *Calculus* (ed. online, 2017, vol. 2, pg. 655)

Não é possível deixar de notar, pela figura 19, como uma simples função matemática, $r = 1.2(1.25^\theta)$, pode ser utilizada para descrever uma obra de Deus, uma obra da criação. Isso nos faz pensar que Galileu Galilei estava correto ao dizer que “a matemática é o alfabeto que Deus usou para escrever o universo”².

3.2 De retangular para polar e vice-versa

Como uma mesma função pode ser expressa tanto em coordenadas retangulares quanto em coordenadas polares, existe um modo direto de transformar coordenadas retangulares em polares e vice-versa (figura 20) utilizando-se trigonometria:

Figura 20: Retangular \Leftrightarrow Polar



George Thomas: *Thomas' Calculus: early transcendentals* (14^a ed., 2017, pg. 683)

²Apesar de universalmente conhecida e atribuída à Galileu, sabe-se que ele não escreveu exatamente isso. Uma simples pesquisa na internet mostrará diversas citações semelhantes e polêmicas quanto a versão exata ou correta da frase.

A transformação de coordenadas polares em coordenadas retangulares é dada por:

$$x = r \cos(\theta) \quad (9)$$

$$y = r \sin(\theta) \quad (10)$$

E a transformação de coordenadas retangulares em coordenadas polares é dada por (cuidado para que o sinal de r e a escolha de θ sejam consistentes com o quadrante no qual o ponto (x, y) está):

$$r^2 = x^2 + y^2 \quad (11)$$

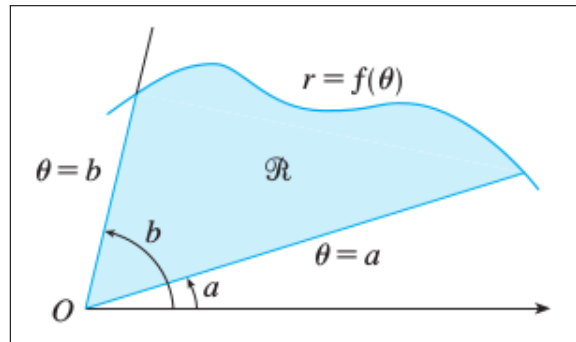
$$\tan(\theta) = \frac{y}{x} \quad \therefore \quad \theta = \arctan\left(\frac{y}{x}\right) \quad (12)$$

Essas transformações entre coordenadas retangulares e polares serão fundamentais para o cálculo do volume utilizando-se integrais.

4 Integrais simples em coordenadas polares

O problema do cálculo de áreas examinado na seção 1.1, com coordenadas retangulares, tem um equivalente em coordenadas polares, ou seja: dada uma equação polar qualquer $r = f(\theta)$, como encontrar a área da região R delimitada pelos ângulos $\theta = a$ e $\theta = b$ (figura 21)?

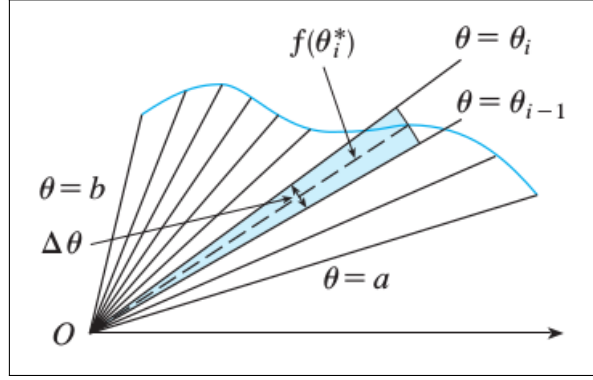
Figura 21: O problema da área em coordenadas polares



James Stewart: *Cálculo* (8ª ed., vol. 2, pg. 606)

A solução é dividir a região R em vários setores, calcular a área de cada setor e somar todas as áreas (figura 22), de forma análoga ao procedimento para o cálculo de áreas em coordenadas retangulares:

Figura 22: Divisão da região R em vários setores

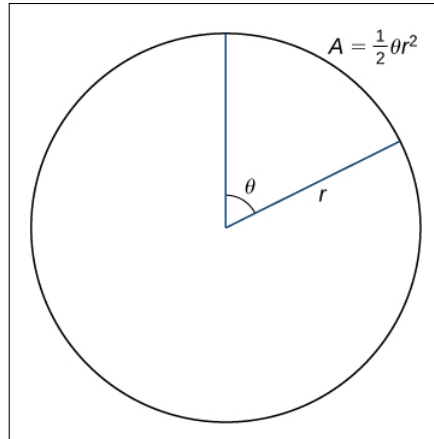


James Stewart: *Cálculo* (8ª ed., vol. 2, pg. 606)

Sabemos que a área de um setor de um círculo é proporcional ao ângulo θ (figura 23) e dada por:

$$\begin{aligned} A &= \pi r^2 \times \frac{\theta}{2\pi} \\ &= \frac{1}{2} \theta r^2 \end{aligned} \quad (13)$$

Figura 23: Área de um setor de um círculo



Gilbert Strang & Edwin Herman: *Calculus* (ed. online, 2017, vol. 2, pg. 663)

Como o raio r na equação 13 corresponde à $f(\theta_i^*)$, podemos calcular a área de cada setor na figura 22 da seguinte forma:

$$\begin{aligned} \Delta A_i &\approx \frac{1}{2} r^2 \Delta \theta \\ &\approx \frac{1}{2} [f(\theta_i^*)]^2 \Delta \theta \end{aligned} \quad (14)$$

Para calcular a estimativa da área total da região R sob a função $r = f(\theta)$, delimitada pelos ângulos $\theta = a$ e $\theta = b$, basta somar as áreas de cada setor individual:

$$A \approx \sum_i^n \frac{1}{2} [f(\theta_i^*)]^2 \Delta\theta \quad (15)$$

É fácil perceber que à medida em que aumentamos o número de setores a estimativa do cálculo da área fica mais precisa. No limite, quando o número de setores tende ao infinito, a área tende ao valor exato, e essa é a ideia do cálculo de áreas em coordenadas polares:

$$\begin{aligned} A &= \lim_{n \rightarrow \infty} \sum_i^n \frac{1}{2} [f(\theta_i^*)]^2 \Delta\theta \\ &= \int_a^b \frac{1}{2} [f(\theta)]^2 d\theta \\ &= \int_a^b \frac{1}{2} r^2 d\theta \end{aligned} \quad (16)$$

5 Integrais duplas em coordenadas polares

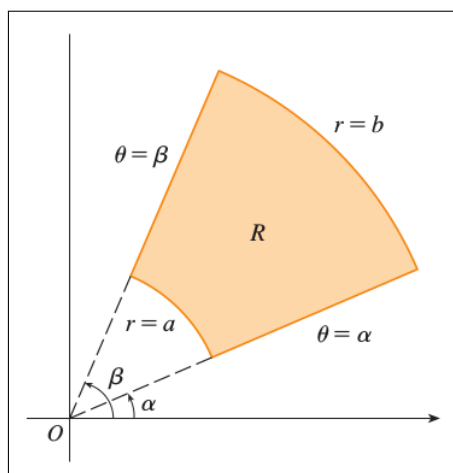
Tendo como base o conhecimento acumulado nas seções anteriores, agora é possível expandir o problema do cálculo de área em coordenadas polares para o problema do volume em coordenadas polares.

Revisitando o problema do cálculo do volume do sólido limitado abaixo pelo plano $z = 0$ e acima pelo parabolóide $z = 1 - x^2 - y^2$ (ver figura 6 na página 5), utilizaremos um artifício para dividir a base do sólido (o disco D) em diversos *retângulos polares* e, a partir desses retângulos, faremos o cálculo do volume.

Um **retângulo polar** (figura 24) é a região formada pelo conjunto de coordenadas polares delimitadas por dois ângulos e duas distâncias:

$$R = \{(r, \theta) \mid a \leq r \leq b, \alpha \leq \theta \leq \beta\} \quad (17)$$

Figura 24: O retângulo polar



James Stewart: *Cálculo* (8ª ed., vol. 2, pg. 904)

Usando o conceito de retângulos polares, dividimos a base do sólido (o disco D na figura 6) em vários retângulos polares, conforme ilustrado na figura 25 a seguir, com as seguintes características:

- O intervalo $[a, b]$ é dividido em m intervalos $[r_{i-1}, r_i]$, de larguras *iguais*:

$$\Delta r = \frac{b - a}{m}$$

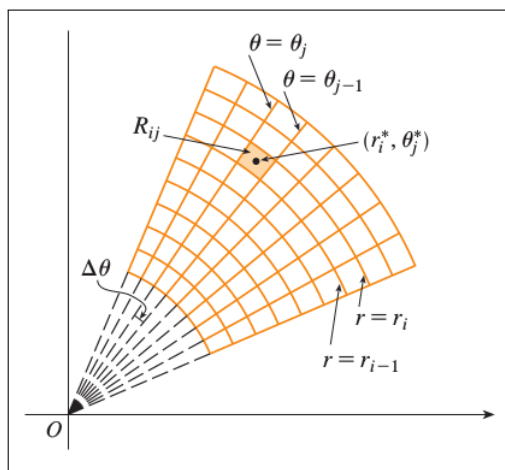
- O intervalo $[\alpha, \beta]$ é dividido em n intervalos $[\theta_{j-1}, \theta_j]$, de larguras *iguais*:

$$\Delta \theta = \frac{\beta - \alpha}{n}$$

- O centro de cada retângulo polar é dado por:

$$r_i^* = \frac{1}{2}(r_{i-1} + r_i) \quad \text{e} \quad \theta_j^* = \frac{1}{2}(\theta_{j-1} + \theta_j)$$

Figura 25: Divisão da base do sólido em retângulos polares



James Stewart: *Cálculo*
(8ª ed., vol. 2, pg. 904)

Podemos então calcular a área de *cada retângulo polar* usando a equação 13 da seguinte maneira:

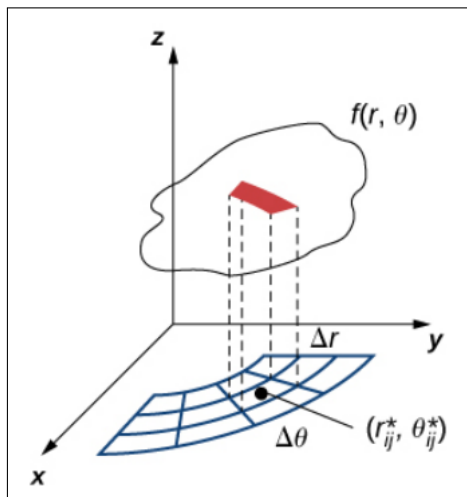
$$\begin{aligned} \Delta A_i &= \left(\frac{1}{2} r_i^2 \Delta \theta \right) - \left(\frac{1}{2} r_{i-1}^2 \Delta \theta \right) \\ &= \frac{1}{2} (r_i^2 - r_{i-1}^2) \Delta \theta \\ &= \dots \\ &= r_i^* \Delta r \Delta \theta \end{aligned} \tag{18}$$

Note que na equação 18, que calcula a área de cada retângulo polar, surgiu um fator r_i^* que multiplica $\Delta r \Delta \theta$. Esse fator é necessário para levar em conta que retângulos

mais distantes da origem terão área maior (do contrário, como dividimos os setores em larguras iguais, todos os retângulos teriam a mesma área, o que não faz sentido³).

Agora que já sabemos como calcular a área de cada retângulo polar da base de nosso sólido, vamos expandir o raciocínio para o volume do prisma que tem como base o retângulo polar e altura até a superfície da função, conforme ilustrado na figura 26 a seguir:

Figura 26: Volume do sólido que tem como base o retângulo polar



Gilbert Strang & Edwin Herman:
Calculus (ed. online, 2017, vol. 3, pg. 527)

O volume de cada prisma será dado pela multiplicação da área de sua base, ΔA_i , com sua altura, dada em coordenadas polares por $f[r_i^* \cos(\theta_j^*), r_i^* \sin(\theta_j^*)]$:

$$V_{R_{ij}} \approx f[r_i^* \cos(\theta_j^*), r_i^* \sin(\theta_j^*)] \Delta A_i \quad (19)$$

E a estimativa do volume total sob o sólido é dada pela somatória do volume individual de todos os prismas:

$$\begin{aligned} V &\approx \sum_{i=1}^m \sum_{j=1}^n f[r_i^* \cos(\theta_j^*), r_i^* \sin(\theta_j^*)] \Delta A_i \\ &\approx \sum_{i=1}^m \sum_{j=1}^n f[r_i^* \cos(\theta_j^*), r_i^* \sin(\theta_j^*)] r_i^* \Delta r \Delta \theta \end{aligned} \quad (20)$$

Perceba que à medida em que aumentamos o número de prismas (à medida em que os retângulos polares ficam menores), a estimativa do cálculo do volume fica mais precisa. No limite, quando o número de retângulos polares tende ao infinito, o volume tende ao valor exato, e essa é a idéia de usar coordenadas polares para o cálculo de volumes:

³Um vídeo disponível em uma página da Universidade do Texas fornece uma explicação interessante para isso: <https://web.ma.utexas.edu/users/m408m/Display15-4-2.shtml>

$$\begin{aligned}
V &= \lim_{m,n \rightarrow \infty} \sum_{i=1}^m \sum_{j=1}^n f[r_i^* \cos(\theta_j^*), r_i^* \sin(\theta_j^*)] \Delta A_i \\
&= \iint_R f[r \cos(\theta), r \sin(\theta)] \, dA \\
&= \int_{\alpha}^{\beta} \int_a^b f[r \cos(\theta), r \sin(\theta)] r \, dr \, d\theta
\end{aligned} \tag{21}$$

Em resumo, quando temos uma função de difícil integração quando expressa em coordenadas retangulares, $\int_a^b \int_c^d f(x, y) \, dy \, dx$, podemos reexpressar a mesma função em coordenadas polares, $\int_{\alpha}^{\beta} \int_a^b f[r \cos(\theta), r \sin(\theta)] r \, dr \, d\theta$, para facilitar o cálculo.

A Bibliografia consultada

- James Stewart: *Cálculo*, 8ª edição, volume 2 (seções 10.3, 10.4, 15.3)
- George F. Simmons: *Calculus with Analytic Geometry*, 2ª edição (seções 16.1, 16.2, 16.3, 20.4)
- George B. Thomas, JR: *Thomas' Calculus: early transcendentals*, 14ª (seções 11.3, 11.4, 11.5, 15.4)
- Gilbert Strang & Edwin "Jed" Herman: *Calculus*, edição online de 2017, volume 2 (seções 7.3, 7.4)
- Gilbert Strang & Edwin "Jed" Herman: *Calculus*, edição online de 2017, volume 3 (seções 1.3, 1.4, 5.3)
- Mauri C. Nascimento. *Coordenadas Polares..* Dep. de Matemática, Unesp/Bauru. Disponível online em <http://wwp.fc.unesp.br/~mauri/Down/Polares.pdf>.
- Bosco Nogueira. *Integrais Duplas*. Departamento de Matemática, UFPB. Disponível online em <http://www.mat.ufpb.br/bosco/calculoi2011/nciii.pdf>
- Lorenzo Sadun. *Double Integrals in Polar Coordinates*. M408M, Texas University Learning Module Pages. Disponível online em <https://web.ma.utexas.edu/users/m408m/Display15-4-2.shtm>

B Integrantes do Grupo 1

- Abrantes Araújo Silva Filho
- Alecsandro Queiroz
- Anderson Kirmse Rodrigues
- Anna Karolyna Lima Santos
- Antônio Carlos da Silva Alberto
- Beatriz Sauvalaio Benezolli
- Braian dos Santos Calot
- Bruno Brasil Ferreira
- Bryan Lucas Barbosa Lima
- Danielle Marcelino Cicilioti

C Fontes em \LaTeX

Este trabalho (juntamente com os slides para apresentação) foram escritos utilizando-se \TeX e \LaTeX . O código fonte deste trabalho está disponível online para estudantes interessados em aprender a utilizar essas ferramentas em: <https://github.com/abrantesasf/matematica/tree/master/calculus/faesa/calculo3/polar>